



<http://www.grap.udl.cat/>

Universitat de Lleida

GRaP Grup de Recerca en AgroTICa i Agricultura de Precisió

Translate | Castellano | English | Mapa web

INICI PRESENTACIÓ RECERCA PUBLICACIONS EQUIPAMENTS NOTÍCIES Cerca...

GRaP

Qui som

Qué fem

Recerca del GRAP

Publicacions del GRAP

Benvingut al lloc web del Grup de Recerca en AgroTICa i Agricultura de Precisió de la Universitat de Lleida, el GRaP!

En aquest espai hi trobaràs informació detallada sobre el grup, els seus membres, les nostres línies de recerca i totes les nostres publicacions. A l'apartat de Notícies podràs anar seguint les darreres novetats del grup.

Subscriu-te a la nostra llista de distribució per a estar al dia!

Introducción

- Todo agricultor sabe que, por grandes o pequeñas que sean sus parcelas, existe una variabilidad dentro de ellas:



Introducción

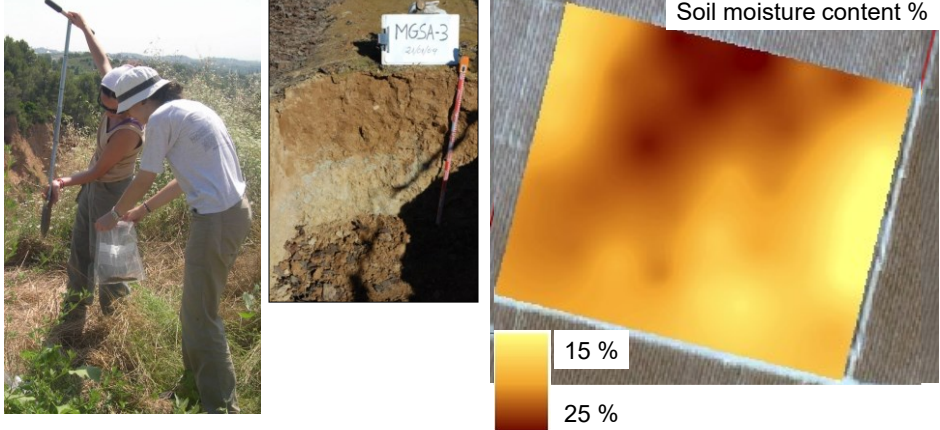
La variabilidad espacial suele estar relacionada con la variabilidad de las propiedades de los suelos.



Universitat de Lleida

Introducción

La variabilidad de los suelos es difícil y costosa de determinar.



Soil moisture content %

15 %

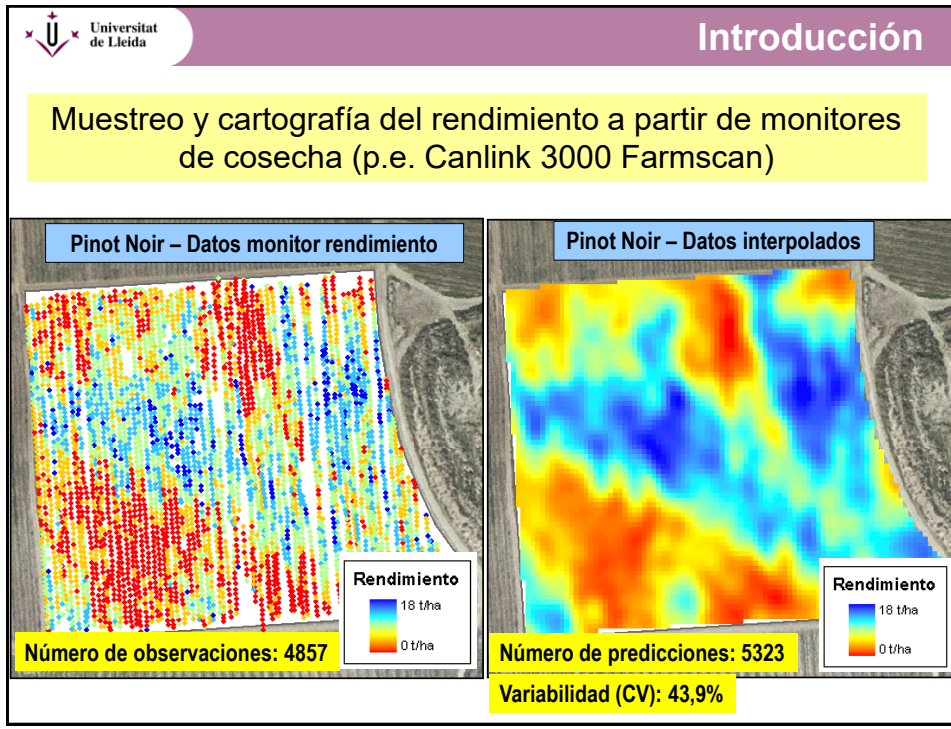
25 %

Universitat de Lleida

Introducción

Desde finales de los años 1990: posibilidad de conocer en detalle el **rendimiento del cultivo** a través del uso de **monitores de cosecha** (Bramley y Proffitt 1999, Wample *et al.* 1999).





Universitat de Lleida

Teledetección

Adquisición de imágenes en diferentes partes del espectro desde sensores en satélites, aviones, avionetas, vehículos no tripulados, radiometría de campo.

The diagram shows a vertical stack of four levels of data collection:

- Top level: "Imágenes desde satélite" (Satellite images) shown as a small satellite icon.
- Second level: "Imágenes desde sensores aeroportados a gran altitud" (Images from high-altitude airborne sensors) shown as a small airplane icon.
- Third level: "Imágenes desde sensores aeroportados a baja altitud" (Images from low-altitude airborne sensors) shown as a small aircraft icon.
- Bottom level: "Observación en tierra (radiometría de campo)" (Field radiometry) shown as a person standing next to a red agricultural vehicle in a vineyard.

Three sample images are shown to the right of the levels:

- A small satellite image showing a color-coded field map with a scale bar from 0 to 0.2 km.
- An aerial photograph of a vineyard with a grid pattern, with a scale bar from 0 to 0.2 km.
- A photograph of a red agricultural vehicle equipped with sensors in a vineyard.

Universitat de Lleida

Teledetección: concepto

¿Cómo es que a partir de imágenes aéreas / satélite / dron podemos conocer el vigor de la vegetación y su variabilidad espacio/temporal?

The diagram illustrates the process of photosynthesis and its relation to remote sensing:

La fotosíntesi: el procés

The diagram shows a plant performing photosynthesis with the following components:

- Sun (radiació solar)
- CO₂ (diòxid de carboni)
- O₂ (oxigen)
- Glucosa (saba elaborada)
- Sabat bruta
- Aigua (aigua)
- Sals minerals (sals minerals)

To the right, a satellite is shown emitting four colored arrows representing different spectral bands:

- Azul (Blue)
- Verde (Green)
- Rojo (Red)
- Infrarrojo (Infrared)

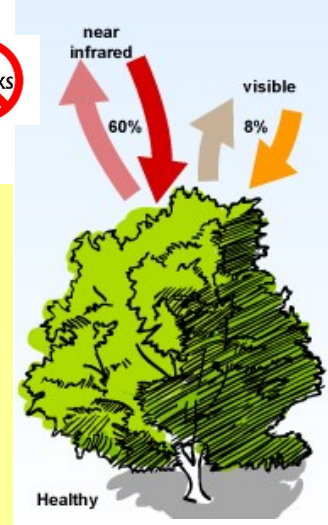
Teledetección: concepto

Las plantas reflejan el Infrarrojo cercano más que el visible ya que ...



...con la energía que captan en el visible, tienen suficiente para llevar a cabo la fotosíntesis → No necesitan el Infrarrojo cercano.

El absorber esta radiación supondría incluso gastar energía → la rechazan en gran medida.



Teledetección: concepto



Adivinas cuál es la banda del ROJO y cuál la NIR?

Imagen Sentinel-2A de Abril 2017
Zona Aeropuerto Alguaire-Lleida con cultivo mayoritario de cereal de invierno (cebada)



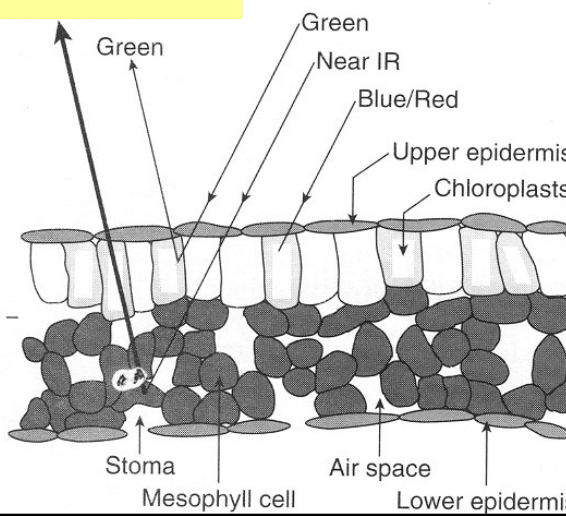
 Universitat de Lleida

Teledetección: concepto – respuesta espectral vegetación

El NIR se refleja en las cavidades del Mesófilo Esponjoso de las hojas.

Las plantas con un mesófilo más esponjoso reflejan mucho más el NIR

Estructura de la hoja



Palisade cells

Spongy mesophyll

Stoma

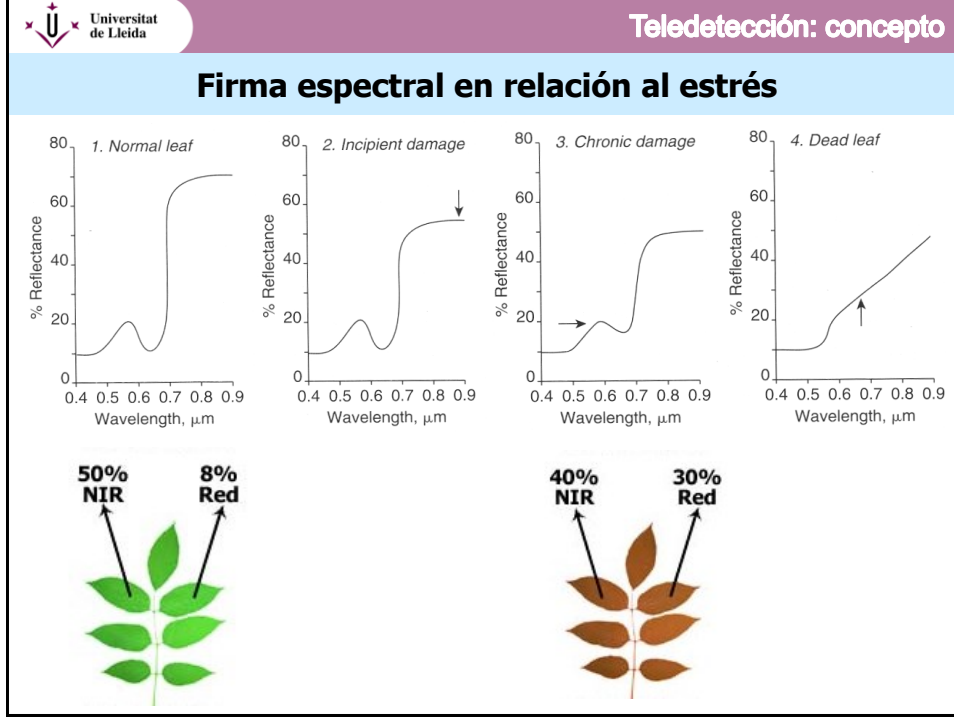
Mesophyll cell

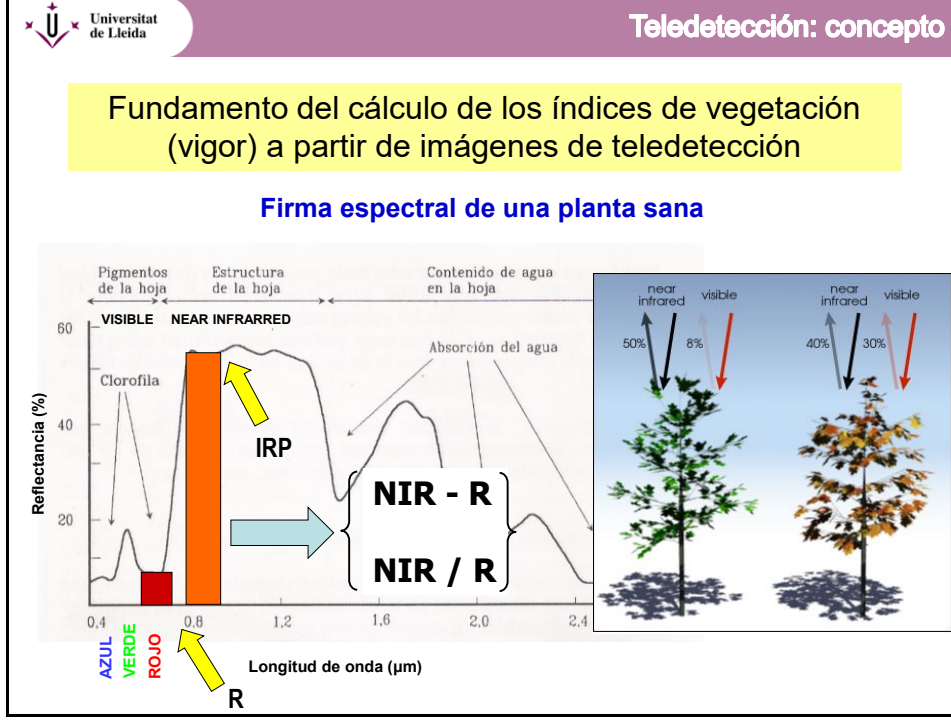
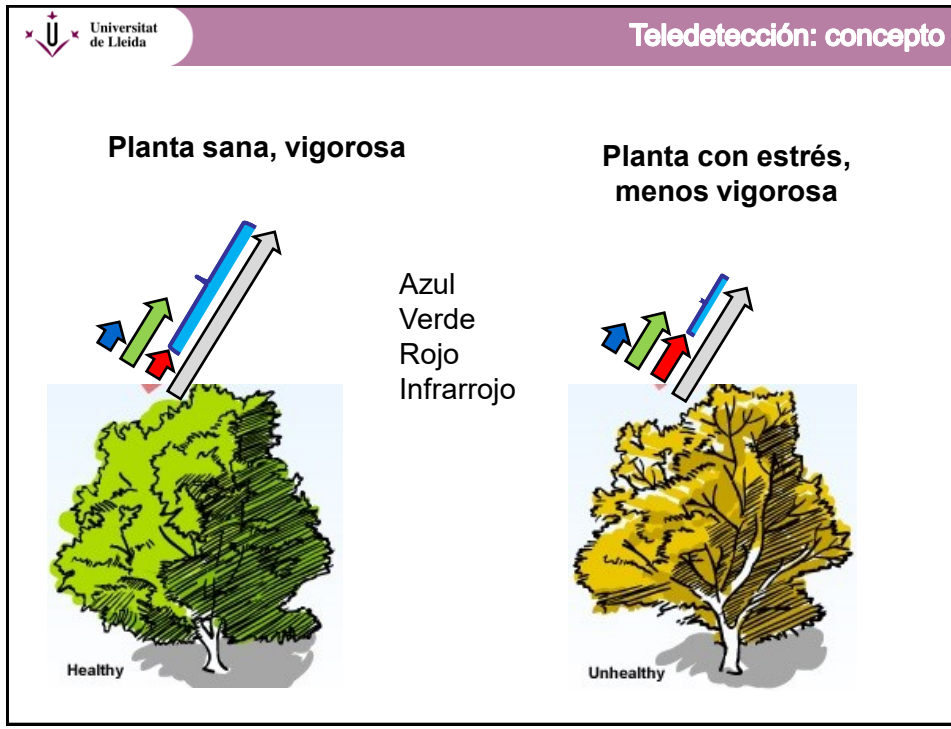
Air space

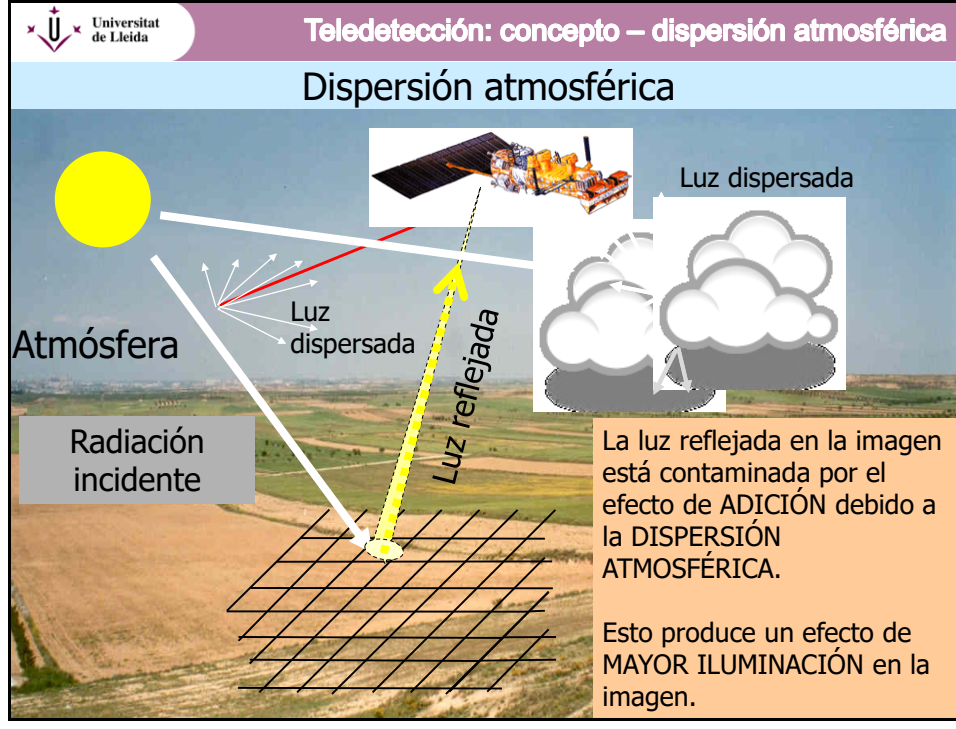
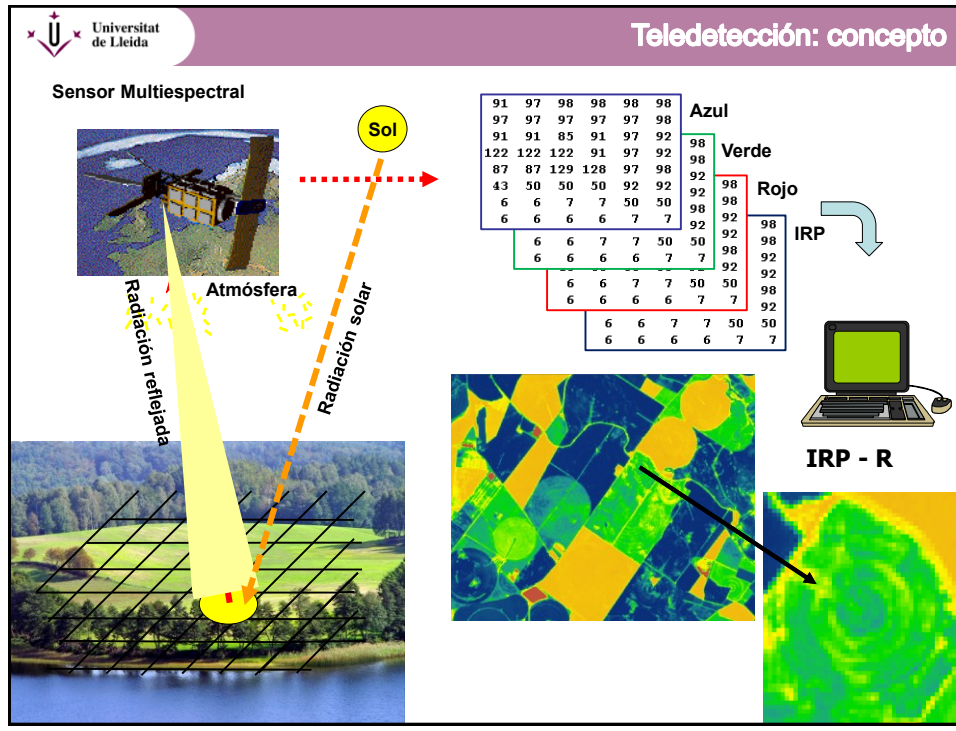
Upper epidermis

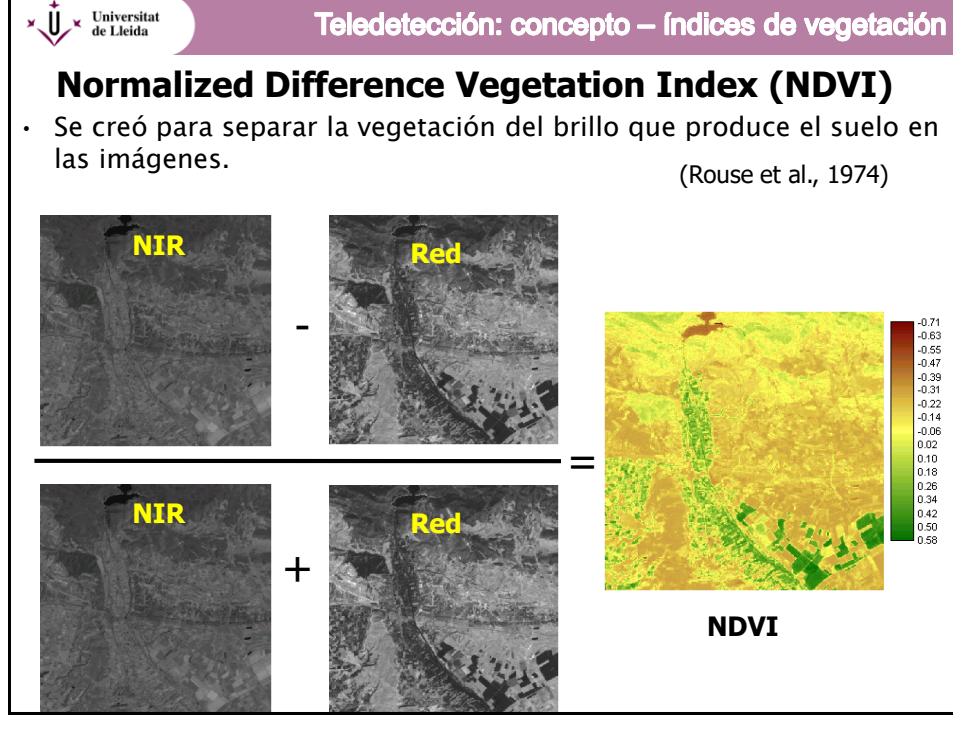
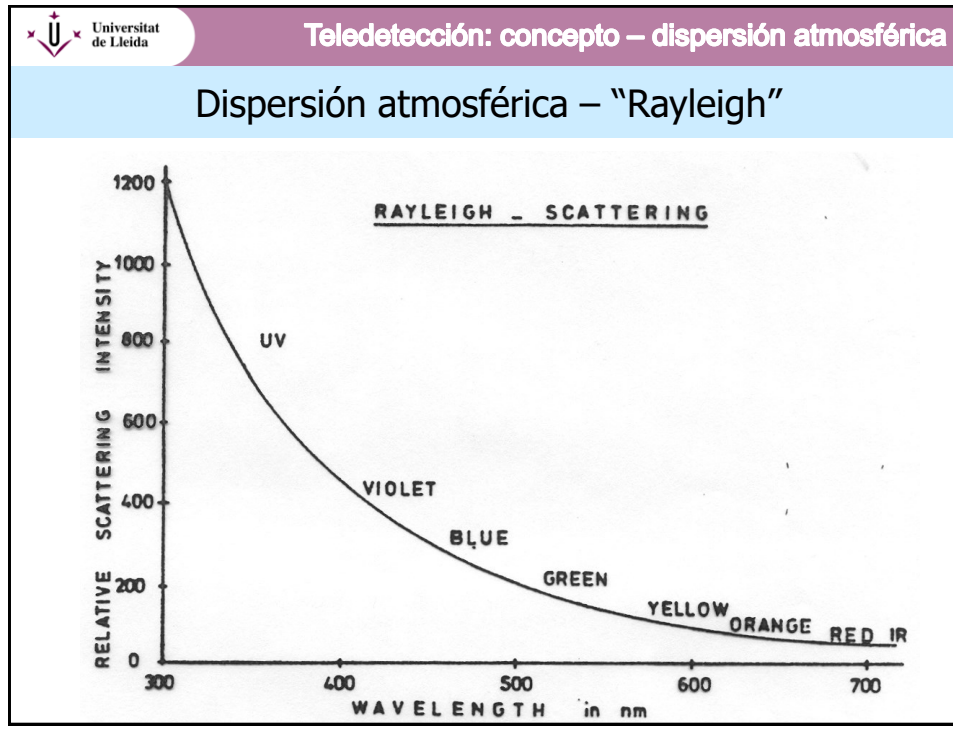
Chloroplasts

Lower epidermis









Universitat de Lleida

Teledetección: concepto – Índices de vegetación

¿Qué mide un índice de vegetación?



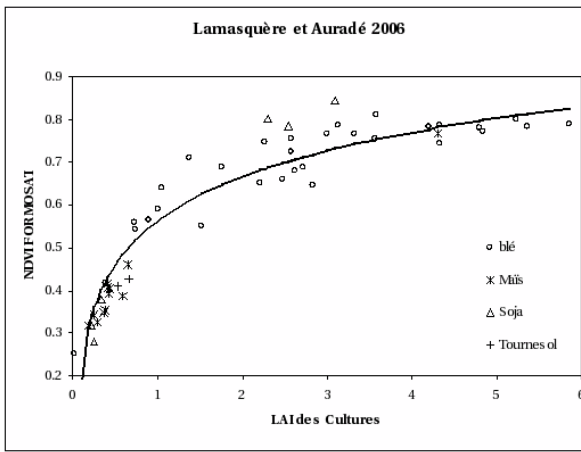
¿Qué es el vigor?

Universitat de Lleida

Teledetección: concepto – Índices de vegetación

Relación NDVI y otros índices espectrales con LAI

Problemas de saturación del NDVI en relación al LAI



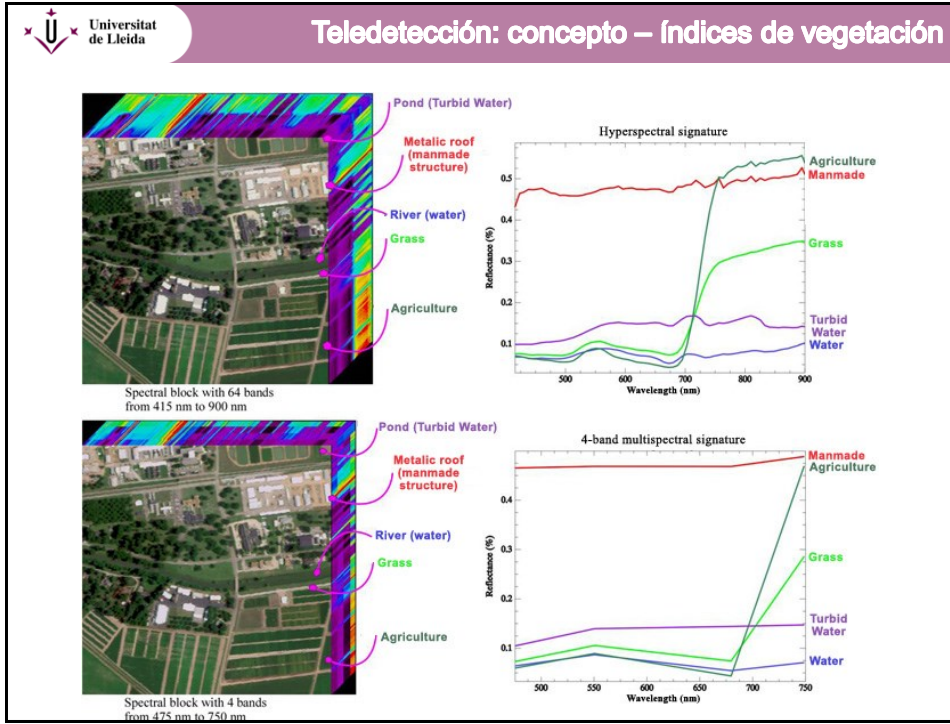
Demarez et al. (2007). Estimation of leaf area and clumping indexes of crops with hemispherical photographs. Agric. Forest Meteorol. doi:10.1016/j.agrformet.2007.11.015.

 Universitat de Lleida

Teledetección: concepto – Índices de vegetación

Algunos índices hiperespectrales para la detección de Clorofila

Greenness Index (G)	$G = (R_{554})/(R_{677})$	-
Modified Chlorophyll Absorption in Reflectance Index (MCARI)	$MCARI = [(R_{700} - R_{670}) - 0.2 * (R_{700} - R_{550})] * (R_{700} / R_{670})$	Daughtry <i>et al.</i> (2000)
Transformed CARI (TCARI)	$TCARI = 3 * [(R_{700} - R_{670}) - 0.2 * (R_{700} - R_{550}) * (R_{700} / R_{670})]$	Haboudane <i>et al</i> (2002)
Triangular Vegetation Index (TVI)	$TVI = 0.5 * [120 * (R_{750} - R_{550}) - 200 * (R_{670} - R_{550})]$	Broge and Leblanc (2000)
Zarco-Tejada & Miller	$ZM = (R_{750})/(R_{710})$	Zarco-Tejada <i>et al.</i> (2001)
Simple R. Pigment Ind. (SRPI)	$SRPI = (R_{430})/(R_{680})$	Peñuelas et al. (1995)
Normalized Phaeophytinization Index (NPQI)	$NPQI = (R_{415} - R_{435}) / (R_{415} + R_{435})$	Barnes et al. (1992)
Photochemical Reflectance Index (PRI)	$PRI1 = (R_{528} - R_{567}) / (R_{528} + R_{567})$ $PRI2 = (R_{531} - R_{570}) / (R_{531} + R_{570})$	Gamon et al. (1992)
Normalized Pigment Chlorophyll Index (NPCI)	$NPCI = (R_{680} - R_{430}) / (R_{680} + R_{430})$	Peñuelas et al. (1994)
Carter Indices	$Ctr1 = (R_{692})/(R_{420})$ $Ctr2 = (R_{695})/(R_{760})$	Carter (1994) Carter et al. (1996)
Lichtenthaler indices	$Lic1 = (R_{800} - R_{680}) / (R_{800} + R_{680})$ $Lic2 = (R_{440})/(R_{690})$	Lichtenthaler et al. (1996)
Structure Intensive Pigment Index (SIPI)	$SIPI = (R_{800} - R_{450}) / (R_{800} + R_{650})$	Peñuelas et al. (1995)
Vogelmann indices	$Vog1 = (R_{740})/(R_{720})$ $Vog2 = (R_{734} - R_{747}) / (R_{715} + R_{726})$ $Vog3 = (R_{734} - R_{747}) / (R_{715} + R_{720})$	Vogelmann et al. (1993); Zarco-Tejada et al. (1999)
Gitelson and Merzlyak	$GM1=R_{750}/R_{550}$ $GM2=R_{750}/R_{700}$	Gitelson & Merzlyak (1997)



 Universitat de Lleida

Teledetección: tipos de sensores



QuickBird WorldView-1 WorldView-2

Sensores multiespectrales en satélites de alta resolución espacial

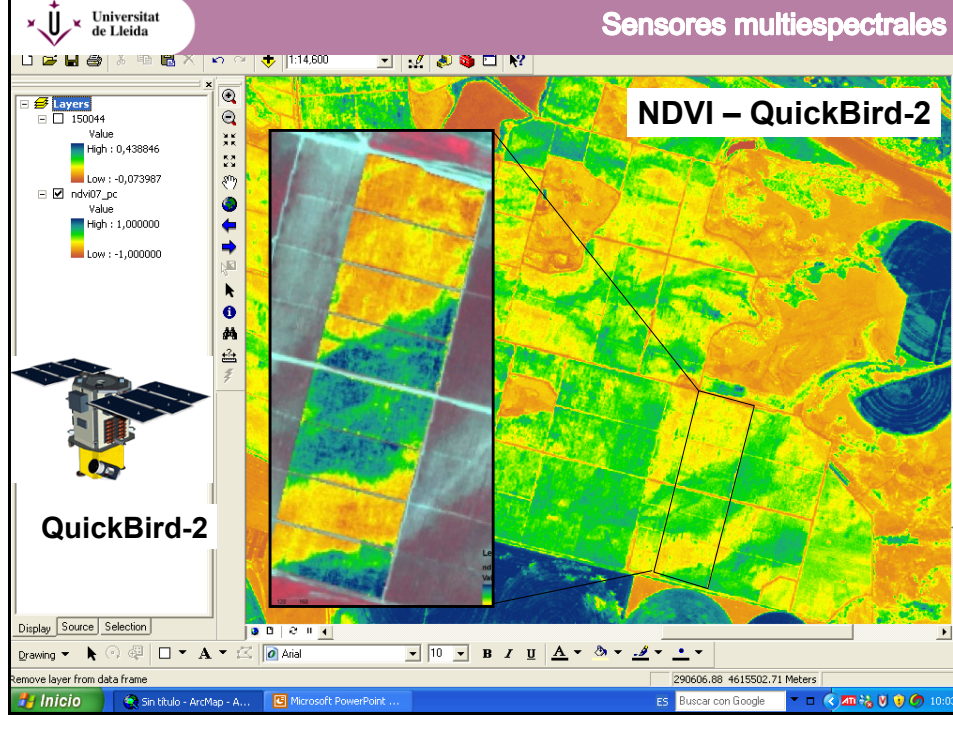


Digital Multi-Spectral Camera (DMSC) System MkII

Cámaras multiespectrales, hiperespectrales y/o cámaras térmicas en avionetas / aviones



Sensores multiespectrales, hiperespectrales y/o cámaras térmicas en UAV o Drones



 Universitat de Lleida

Sensores multiespectrales



WorldView-3
Agosto 2014

Principal instrumento a bordo:
Sensores PAN, MUL+, SWIR, CAVIS

- **Órbita:** 617 km (sincronizada con el Sol)
- **Ancho de imagen:** 13.1 km
- **Capacidad de giro de sensor fuera de órbita:**
- **Resolución temporal:** <1
- **Resolución espacial:** 0.31 m PAN, 1.24 m Bandas multiespectrales
- **Resolución radiométrica:** 11 bit (2048 niveles)

Panchromatic: 450 - 800 nm

	Coastal:	Blue:	Green:	Yellow:	Red:	Red Edge:	Near-IR1:	Near-IR2:
8 Multispectral:	400 - 450 nm	450 - 510 nm	510 - 580 nm	585 - 625 nm	630 - 690 nm	705 - 745 nm	770 - 895 nm	860 - 1040 nm

8 SWIR Bands:

	SWIR-1:	SWIR-2:	SWIR-3:	SWIR-4:	SWIR-5:	SWIR-6:	SWIR-7:	SWIR-8:
	1195 - 1225 nm	1550 - 1590 nm	1640 - 1680 nm	1710 - 1750 nm	2145 - 2185 nm	2185 - 2225 nm	2235 - 2285 nm	2295 - 2365 nm

12 CAVIS Bands:

	Desert Clouds:	Aerosol-1:	Green:	Water-1:	Water-2:	Water-3:	NDVI-SWIR:	Cirrus:	Snow:	Aerosol-1:	Aerosol-2:
	405 - 420 nm	459 - 509 nm	525 - 585 nm	845 - 885 nm	897 - 927 nm	930 - 965 nm	1220 - 1252 nm	1365 - 1405 nm	1620 - 1680 nm	2105 - 2245 nm	2105 - 2245 nm

https://www.spaceimagingme.com/downloads/sensors/datasheets/DG_WorldView3_DS_2014.pdf

 Universitat de Lleida

Sensores multiespectrales

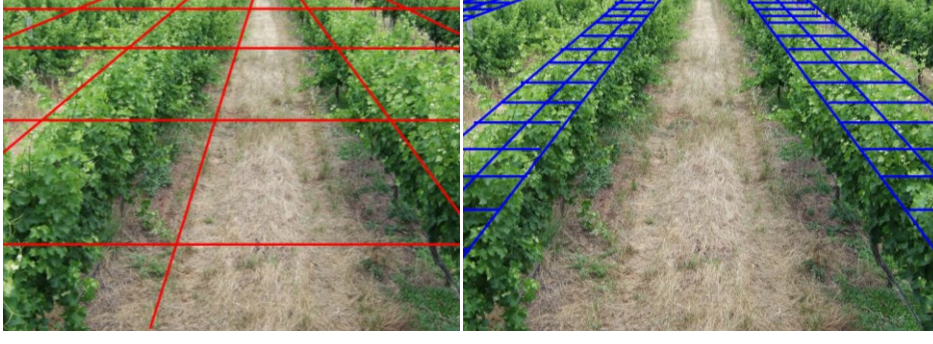
Tamaño del píxel

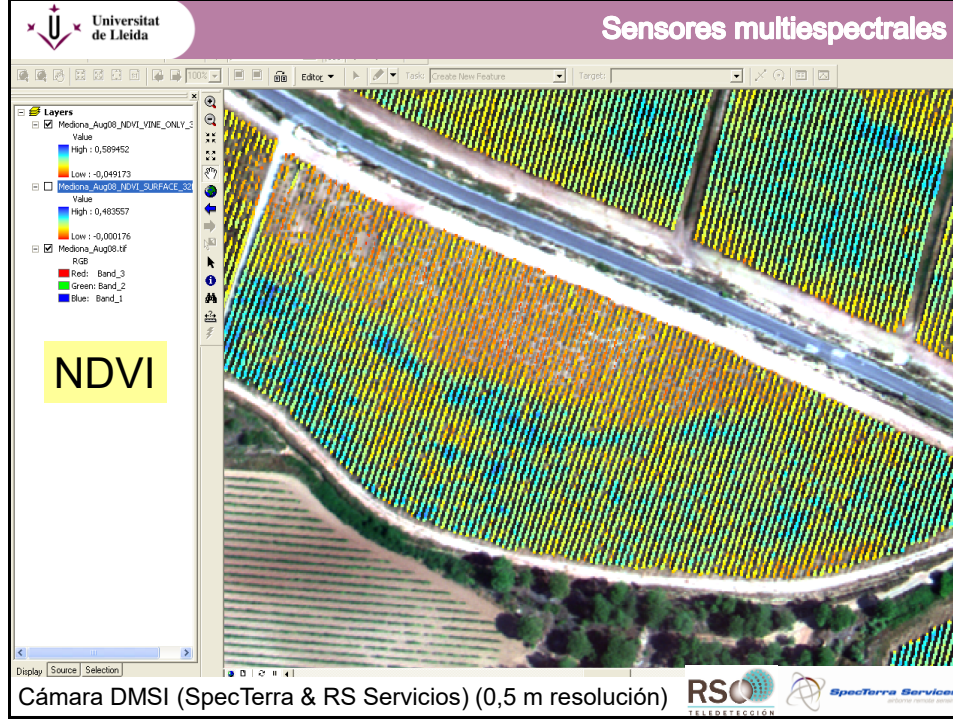
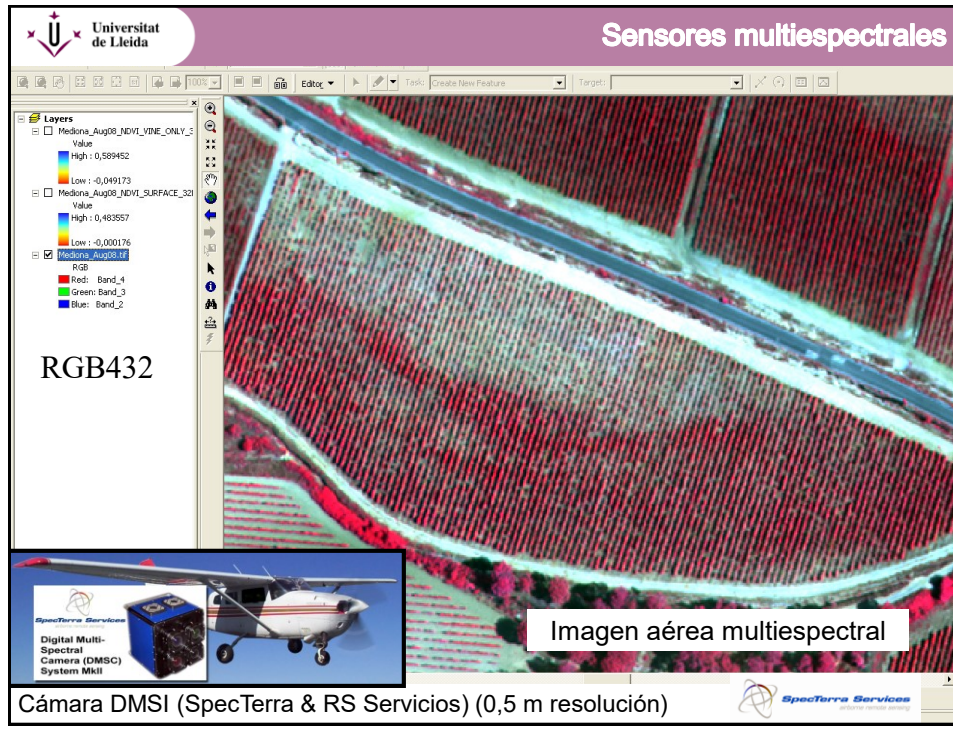


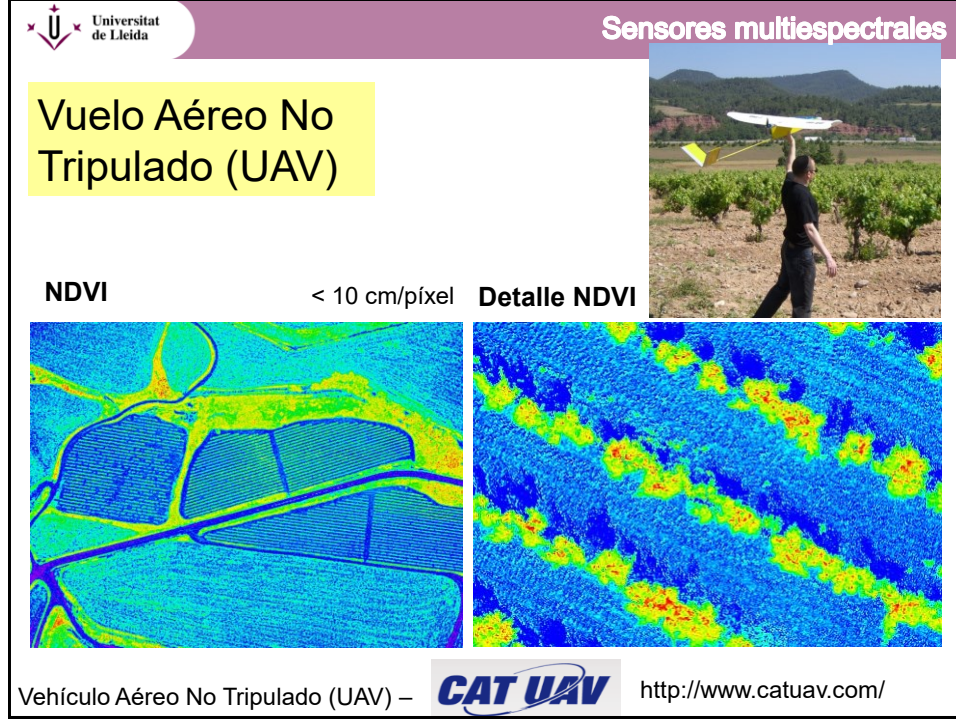
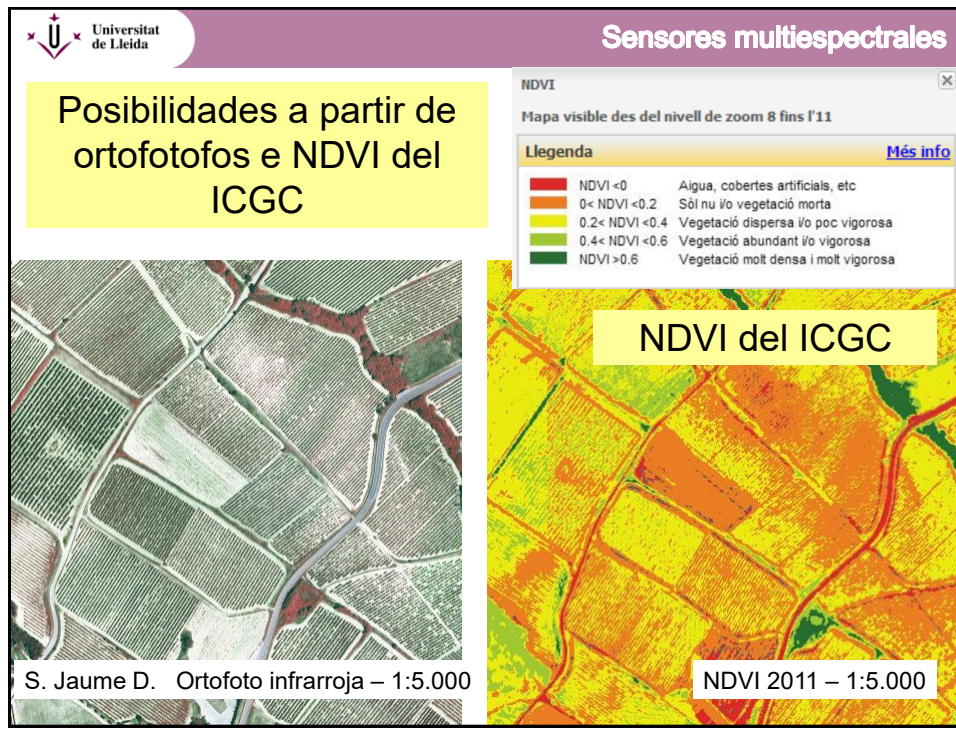
QuickBird-2



SATÉLITE: 2 - 2,8m **AERONAVE:** 0,5m







 Universitat
de Lleida

Sensores multiespectrales

TETRACAM INC



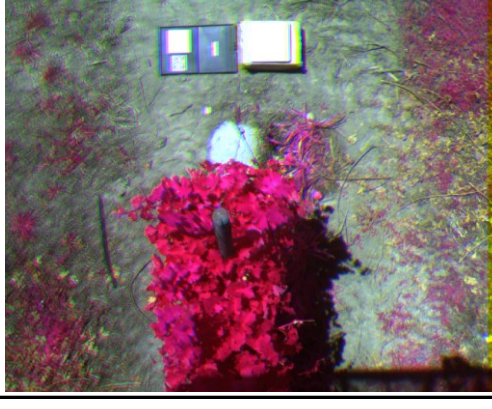
Cámara 6 bandas

1-780 nm
2-450 nm
3-550 nm
4-670 nm
5-710 nm
6-730 nm

Micro-MCA6 STANDARD SYSTEM

The Micro-MCA System Includes:

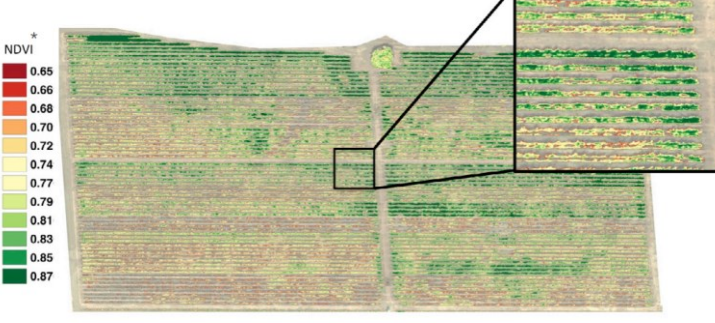
- 6 channel Micro MCA camera
- 6 ea. 16 GB Micro SD Memory Cards
- 6 ea. 9.6 mm lenses
- 6 ea. 1.3 MB image sensors (7.8 MB total)
- 6 ea. Standard Bandpass Filter Set
 - 490FS10-25
 - 550FS10-25
 - 680FS10-25
 - 720FS10-25
 - 800FS10-25
 - 900FS20-25



 Universitat
de Lleida

Sensores multiespectrales

MicaSense



NDVI

0.65
0.66
0.68
0.70
0.72
0.74
0.77
0.79
0.81
0.83
0.85
0.87

*Normalized Difference Vegetation Index

Conclusiones

- No nos asustemos → Empecemos poco a poco y de la mano de algún experto formado en Agronomía y Tecnologías de la Información Geográfica.
- A pesar de que la teledetección sea una herramienta muy útil, se necesita de saber interpretar las imágenes y/o explotar la información implícita que tienen los datos (p.e. índices de vigor). A la vez, relacionarlo con conocimiento agronómico sobre suelos, cultivos y sus necesidades (fertilización, riego, tratamientos, operaciones de manejo, etc.)
- No esperemos cambios o mejoras substanciales de la noche a la mañana.

